



Concessionaria per la progettazione, realizzazione e gestione del collegamento stabile tra la Sicilia e il Continente Organismo di Diritto Pubblico
(Legge n° 1158 del 17 dicembre 1971, modificata dal D.Lgs. n°114 del 24 aprile 2003)



PONTE SULLO STRETTO DI MESSINA



PROGETTO DEFINITIVO ALTERNATIVE AI SITI DI DEPOSITO

(Richieste CTVA del 22/12/2011 Prot. CTVA/2011/4534 e del 16/03/2012 Prot. CTVA/2012/1012)

EUROLINK S.C.p.A.

IMPREGILO S.p.A.

SOCIETÀ ITALIANA PER CONDOTTE D'ACQUA S.p.A.

COOPERATIVA MURATORI E CEMENTISTI - C.M.C. DI RAVENNA SOC. COOP. A.R.L.

SACYR S.A.U.

ISHIKAWAJIMA - HARIMA HEAVY INDUSTRIES CO. LTD

A.C.I. S.C.P.A. - CONSORZIO STABILE

IL PROGETTISTA
ATI PRO-GLOBAL
Ing. B. Polifroni n° A1845
Arch. S. Fedele n° 274



Ing. E.Pagani
Ordine Ing. Milano n°15408

IL CONTRAENTE GENERALE
PROJECT MANAGER
(Ing. P.P. Marcheselli)

STRETTO DI MESSINA
Direttore Generale
Ing. G. Fiammenghi

STRETTO DI MESSINA
Amministratore Delegato
Dott. P.Ciucci

Firmato digitalmente ai sensi dell' "Art.21 del D.Lgs. 82/2005"

CZV0698_F0

Unità Funzionale

COLLEGAMENTI VERSANTE CALABRIA

Tipo di sistema

CANTIERI

Raggruppamento di opere/attività

SITI DI RECUPERO AMBIENTALE E PRODUZIONE INERTI

Opera - tratto d'opera - parte d'opera

SITI DI RECUPERO AMBIENTALE

Titolo del documento

CRA 5 - FORESTA - RELAZIONE GEOTECNICA E VERIFICHE DI STABILITÀ'

CODICE

C | G | 1 | 4 | 0 | 0 | P | R | B | V | C | C | Z | C | 4 | S | D | 2 | 2 | 0 | 0 | 0 | 0 | 0 | 1 | F0

REV	DATA	DESCRIZIONE	REDATTO	VERIFICATO	APPROVATO
F0	08/06/2012	EMISSIONE FINALE	SURACE	G. POLIFRONI	B. POLIFRONI

NOME DEL FILE: CG1400PRBVCCZC4SD22000001

revisione interna:01

		Ponte sullo Stretto di Messina PROGETTO DEFINITIVO
CRA5 - RELAZIONE GEOTECNICA E VERIFICHE DI STABILITA'	Codice documento CG1400PRBVCCZC4SD22000001	Rev F0 Data 08/06/2012

INDICE

INDICE	3
1 INTRODUZIONE	5
2 NORMATIVA DI RIFERIMENTO.....	7
3 INQUADRAMENTO GEOLOGICO E GEOTECNICO	7
4 INDAGINI GEOGNOSTICHE	7
5 CARATTERIZZAZIONE GEOTECNICA.....	9
5.1 Stato iniziale dei materiali	10
6 PERICOLOSITA' SISMICA	11
7 FASI COSTRUTTIVE.....	13
8 MODELLO DI CALCOLO.....	13
8.1 Metodo agli elementi finiti (Metodo SSR)	13
8.2 Metodo dell'equilibrio limite (LEM)	15
9 PRESCRIZIONI ESECUTIVE	17
10 RISULTATI DI CALCOLO	17
10.1 Sezione 1.....	18
10.2 Sezione 2.....	20
11 TABULATI DI CALCOLO	21
11.1 Sezione 1 –post operam- tabulato input.....	21
11.2 Sezione 1 –post operam- tabulato output.....	28
11.3 Sezione 2 –post operam- tabulato input.....	31
11.4 Sezione 2 –post operam- tabulato output.....	38

		Ponte sullo Stretto di Messina PROGETTO DEFINITIVO
CRA5 - RELAZIONE GEOTECNICA E VERIFICHE DI STABILITÀ'	<i>Codice documento</i> CG1400PRBVCCZC4SD2200001	<i>Rev</i> F0

1 INTRODUZIONE

La presente relazione riguarda la caratterizzazione fisico meccanica del sottosuolo, e le verifiche connesse con la progettazione del deposito di materiale inerte CRA5-Forest, che sorgerà in prossimità del comune di Varapodio, in provincia di Reggio Calabria (Fig.1.1).

Una parte del materiale costituente il deposito verrà successivamente rimossa (fig.1.3), tuttavia nelle analisi svolte, operando a vantaggio di sicurezza, l'intero deposito è stato considerato a carattere definitivo. Le analisi di stabilità del deposito sono state effettuate secondo il metodo **Shear Strength Reduction (SSR)**, applicato ad un modello agli elementi finiti a comportamento elasto-plastico, considerando le sezioni che permettono di individuare le principali configurazioni critiche dello stesso (Fig.1.2). Inoltre, con riferimento alla sezione critica del deposito, è stata anche eseguita una verifica di controllo, seguendo l'approccio tradizionale all'equilibrio limite (**LEM**), che mostra come i fattori di sicurezza ottenuti siano congruenti fra loro.

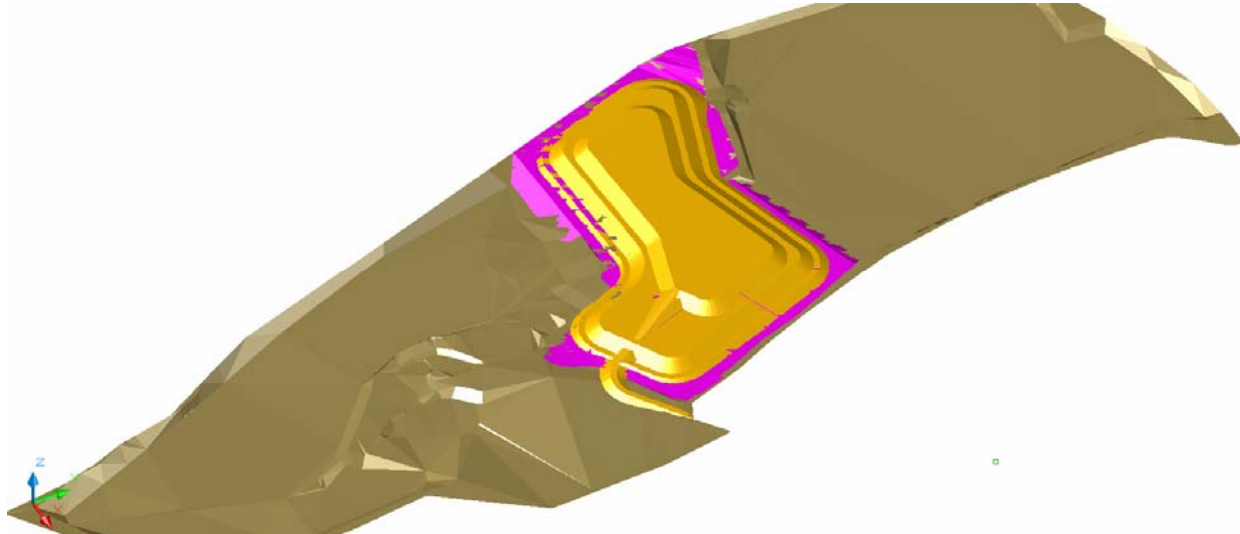


Figura 1.1 : Vista tridimensionale del deposito CRA5- Foresta

Per quanto riguarda gli aspetti litologici, geologici ed idrogeologici si fa riferimento alle specifiche relazioni di progetto, affiancate agli elaborati generali di riferimento:

Geologia: Relazione Geologica generale e annesse relazioni idrogeologiche

- per la Calabria CG0800PRGDCSBC6G000000001A;

Geotecnica: Relazione Geotecnica generale

- per la Calabria CG0800PRBDCSBC8G000000001A;

		Ponte sullo Stretto di Messina PROGETTO DEFINITIVO
CRA5 - RELAZIONE GEOTECNICA E VERIFICHE DI STABILITÀ'	<i>Codice documento</i> CG1400PRBVCCZC4SD2200001	<i>Rev</i> F0

Per ulteriori informazioni si rimanda alla relazione tecnica generale.

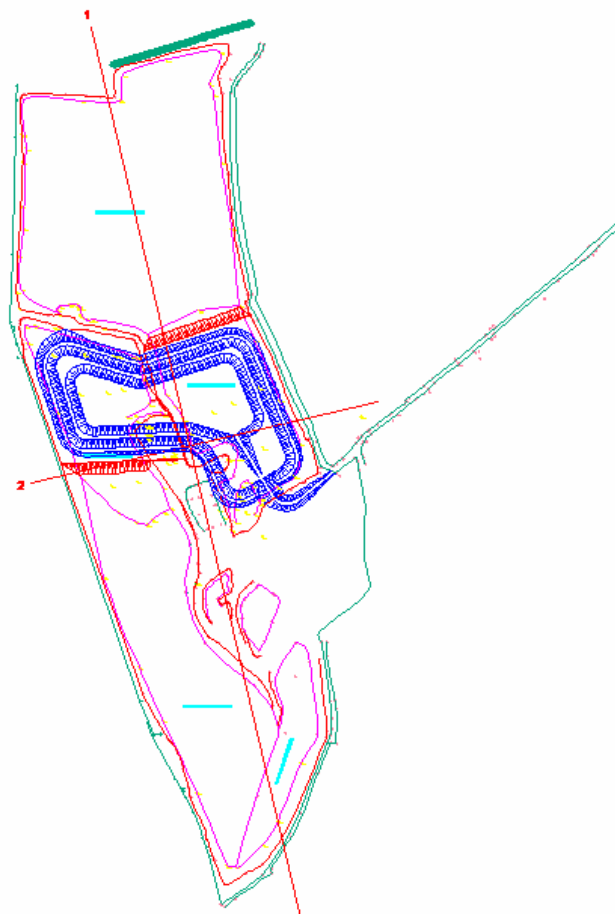


Figura 1.2 : Planimetria del deposito CRA4 con indicazione delle sezioni di calcolo

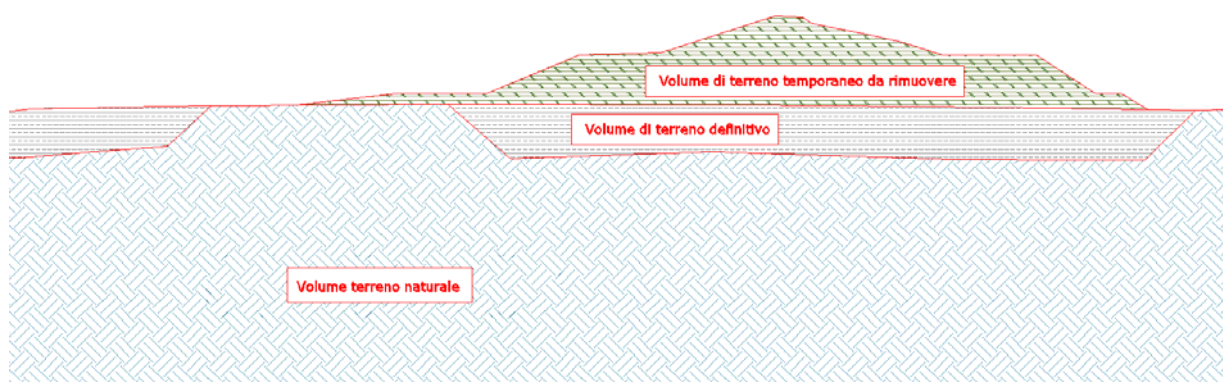


Figura 1.3: Sezione trasversale tipo con indicazione del volume di terreno da rimuovere

		Ponte sullo Stretto di Messina PROGETTO DEFINITIVO		
CRA5 - RELAZIONE GEOTECNICA E VERIFICHE DI STABILITÀ'	<i>Codice documento</i> CG1400PRBVCCZC4SD22000001	<i>Rev</i> F0	<i>Data</i> 08/06/2012	

Nel seguito si elencano le normative a cui si è fatto riferimento, e si descrivono i parametri geotecnici adottati nei calcoli, i modelli di calcolo e le verifiche di stabilità del deposito in oggetto. Per ulteriori dettagli si rimanda agli elaborati grafici di progetto a cui il presente documento si affianca.

2 NORMATIVA DI RIFERIMENTO

- D.M. Infrastrutture 14 Gennaio 2008, pubblicato su S.O. alla G.U. 4 febbraio 2008, n. 29 "Nuove Norme Tecniche per le Costruzioni"
- CIRCOLARE 2 Febbraio 2009, n. 617 – Istruzioni per l'applicazione delle 'Nuove norme tecniche per le costruzioni' di cui al decreto ministeriale 14 Gennaio 2008 (GU n.47 del 26 Febbraio 2009 – Suppl. Ordinario n.27)
- UNI ENV 1997: "Eurocodice 7. Progettazione geotecnica"

3 INQUADRAMENTO GEOLOGICO E GEOTECNICO

Il sito interessato dall'intervento è caratterizzato principalmente da depositi alluvionali recenti.

Dal punto di vista granulometrico sono costituiti in prevalenza da elementi clastici di dimensioni comprese tra i ciottoli e le ghiaie, immersi in un'abbondante matrice sabbiosa e sabbioso-limosa. I ciottoli sono generalmente di forma subarrotondata e di natura metamorfica e granitica; le sabbie sono in prevalenza quarzose ed hanno forma subangolare.

Trattandosi di materiale di deposizione recente, la pressione litostatica non è stata mai molto elevata, per cui i processi diagenetici sono praticamente irrilevanti. I sedimenti sono quindi privi di coesione effettiva e risultano facilmente disaggregabili per la mancanza di cementazione.

Lo spessore di questa formazione risulta variabile fra 30 e 50 m.

Durante le operazioni di cava è stata identificata la risalita d'acqua, fino alla quota campagna, che ha dato origine alla formazione del bacino esistente.

4 INDAGINI GEOGNOSTICHE

I dati acquisiti in questa fase di studio, integrati anche con le informazioni disponibili da altre indagini, per come specificato nella relazione geologica, hanno consentito di definire, con sufficiente approssimazione il modello geotecnico di progetto. A tal riguardo, in figura 4.1 e tabella 4.1, si riportano le sezioni litotecniche di riferimento utilizzate nei calcoli ed i rispettivi parametri geotecnici di sintesi.

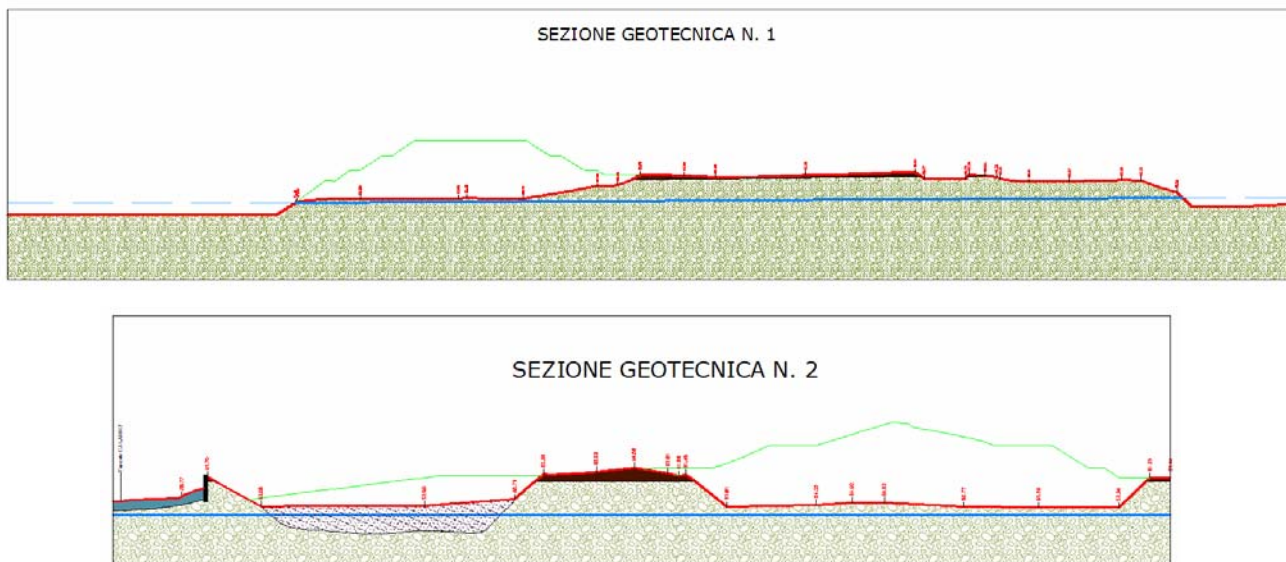


Figura 4.1 : Sezioni geotecniche di riferimento

Litologia	Parametri geotecnici
Materiale eterogeneo di riempimento degli scavi derivati dalla passata attività estrattiva.	Peso Unità di Volume: 1,8 t/mc Angolo di Attrito: 22° Coesione: 0,00 Kg/cmq
Terreno vegetale a composizione limosa - argillosa.	Peso Unità di Volume: 1,8 t/mc Angolo di Attrito: 22° Coesione: 0,16 Kg/cmq
Depositi alluvionali in alveo attivo attivo composti da blocchi e ciottoli sub arrotondati immersi in una matrice ghiaiosa - sabbiosa, con lenti di ghiaie sabbiose e sabbie limose.	Peso Unità di Volume: 1,9 t/mc Angolo di Attrito: 32° Coesione: 0,00 Kg/cmq
Depositi alluvionali composti da blocchi e ciottoli sub arrotondati immersi in una matrice ghiaiosa - sabbiosa, con lenti di ghiaie sabbiose e sabbie limose.	Peso Unità di Volume: 1,9 t/mc Angolo di Attrito: 33° Coesione: 0,00 Kg/cmq

Tabella 4.1 : Parametri geotecnici di sintesi

Per quanto riguarda le indagini geofisiche è stato eseguito uno stendimento sismico. Le risultanze delle indagini geosismiche MASW hanno fornito un valore del $V_{s,30}$, necessario per classificare la categoria di sottosuolo [par.3.2.2, NTC 2008] :

$$V_{s30} = \frac{30}{\sum_{i=1,N} \frac{h_i}{v_i}} = 246 \text{ m/s}$$

Il suolo in esame è, quindi, stato assimilato alla categoria "C" (Depositi di terreni a grana grossa mediamente addensati o terreni a grana fine mediamente consistenti).

		Ponte sullo Stretto di Messina PROGETTO DEFINITIVO		
CRA5 - RELAZIONE GEOTECNICA E VERIFICHE DI STABILITÀ'	<i>Codice documento</i> CG1400PRBVCCZC4SD22000001	<i>Rev</i> F0	<i>Data</i> 08/06/2012	

5 CARATTERIZZAZIONE GEOTECNICA

La caratterizzazione geomeccanica dell'area in esame è stata definita facendo riferimento a dati di prove penetrometriche pesanti eseguite in aree di fondovalle alluvionali simili e vicine a quella interessata dall'intervento in progetto. Si riassumono i parametri geotecnici utilizzati nelle analisi:

Depositi alluvionali – ciottoli con ghiaia e sabbia

		Caratteristici	Di progetto
Peso di Volume	γ [kN/mc]	19.00	19.00
Peso di Volume saturo	γ_s [kN/mc]	20.00	20.00
Coesione efficace	c' [kPa]	0	0
Angolo di attrito	ϕ [$^{\circ}$]	33	27.45
Modulo di Young	E [kPa]	15000	15000
Coefficiente di Poisson	v	0.32	0.32

Terreno vegetale a composizione limosa – argillosa

		Caratteristici	Di progetto
Peso di Volume	γ [kN/mc]	18.00	18.00
Peso di Volume saturo	γ_s [kN/mc]	19.00	19.00
Coesione efficace	c' [kPa]	16	12.8
Angolo di attrito	ϕ [$^{\circ}$]	22	17.91
Modulo di Young	E [kPa]	2500	2500
Coefficiente di Poisson	v	0.32	0.32

Depositi alluvionali in alveo

		Caratteristici	Di progetto
Peso di Volume	γ [kN/mc]	19.00	19.00
Peso di Volume saturo	γ_s [kN/mc]	20.00	20.00
Coesione efficace	c' [kPa]	0	0
Angolo di attrito	ϕ [$^{\circ}$]	32	26.56
Modulo di Young	E [kPa]	15000	15000
Coefficiente di Poisson	v	0.30	0.30

▪ Materiale inerte (che costituirà il corpo del deposito)

		Caratteristici	Di progetto
Peso di Volume	γ [kN/mc]	19.00	19.00
Peso di Volume saturo	γ_s [kN/mc]	20.00	20.00
Coesione efficace	c' [kPa]	0	0
Angolo di attrito	ϕ [$^{\circ}$]	35	29.25

		Ponte sullo Stretto di Messina PROGETTO DEFINITIVO		
CRA5 - RELAZIONE GEOTECNICA E VERIFICHE DI STABILITÀ'	<i>Codice documento</i> CG1400PRBVCCZC4SD22000001	<i>Rev</i> F0	<i>Data</i> 08/06/2012	

Modulo di Young	E [kPa]	30000	30000
Coefficiente di Poisson	v	0.30	0.30

5.1 Stato iniziale dei materiali

Le condizioni tensionali presenti *in situ* prima dello scavo sono state considerate di tipo gravitazionale. Le tensioni verticali iniziali in un dato punto del modello del terreno variano, quindi, linearmente con la profondità.

Le componenti orizzontali sono ricavate a partire da quelle verticali, attraverso il coefficiente di spinta a riposo k' . In particolare, in termini di tensioni efficaci e totali risultano rispettivamente:

$$\sigma'_H = k' \sigma'_V \quad \text{e} \quad \sigma_H = k' (\sigma_V - u) + u$$

dove

- σ'_H tensione orizzontale efficace;
- σ'_V tensione verticale efficace;
- k' coefficiente di spinta a riposo pari al rapporto tra la tensione orizzontale e verticale;
- σ_H tensione orizzontale totale;
- σ_V tensione verticale totale;
- u pressione interstiziale;

Nel caso esaminato è stato assunto un valore di k' dato dalla seguente relazione [Jaky, 1944]:

$$k' = 1 - \sin \varphi'$$

In cui φ' è l'angolo di resistenza al taglio.

		Ponte sullo Stretto di Messina PROGETTO DEFINITIVO		
CRA5 - RELAZIONE GEOTECNICA E VERIFICHE DI STABILITÀ'	<i>Codice documento</i> CG1400PRBVCCZC4SD2200001	<i>Rev</i> F0	<i>Data</i> 08/06/2012	

6 PERICOLOSITA' SISMICA

I parametri sismici sono funzione di diversi fattori, quali:

- coordinate geografiche del sito in esame (latitudine e longitudine)
- vita nomimale
- classe dell'opera
- periodo di riferimento
- coefficiente d'uso
- categoria topografica
- categoria di sottosuolo

La vita nominale, funzione del tipo d'opera che verrà realizzata [tabella 2.4 NTC 2008], è stata assunta pari a 50 anni, la classe dell'opera pari a 2, ed il coefficiente d'uso pari a 1. Conseguentemente il periodo di riferimento dell'azione sismica è pari a 50 anni [par. 2.4.3 NTC 2008]. La categoria topografica, funzione della geometria dell'intervento, è stata scelta corrisponde alla categoria T2 [tab. 3.2.IV, NTC 2008], e quella di sottosuolo dedotta dalle indagini sismiche a rifrazione è pari a C.

Le componenti dell'azione sismica sono state valutate a partire dei coefficienti K_o e K_v , funzione dei seguenti parametri:

$$K_0 = \beta_s \cdot \left(\frac{a_{\max}}{g} \right) \quad K_v = \pm 0.5 \cdot K_0$$

dove:

β_s coefficiente di riduzione dell'accelerazione massima attesa al sito;

g accelerazione di gravità;

a_{\max} accelerazione massima attesa sul sito;

Quest'ultimo valore dipende dalle caratteristiche geomorfologiche del territorio, in particolare:

$$a_{\max} = S_s \cdot S_T \cdot a_g$$

S_s coefficiente di amplificazione stratigrafica, funzione di F_0 (fattore massimo di amplificazione

		Ponte sullo Stretto di Messina PROGETTO DEFINITIVO
CRA5 - RELAZIONE GEOTECNICA E VERIFICHE DI STABILITÀ'	Codice documento CG1400PRBVCCZC4SD2200001	Rev F0 Data 08/06/2012

dello spettro in accelerazione orizzontale) e della categoria di suolo (A, B, C, D, E);

S_T coefficiente di amplificazione topografica;

a_g accelerazione orizzontale massima;

Sono stati, così, dedotti i parametri sismici relativi ai diversi stati limite. Si ricorda che nelle analisi di stabilità svolte si è fatto riferimento allo stato limite di salvaguardia della vita (SLV). Si riportano i parametri sismici ricavati.

Sito in esame

latitudine: 38,355953
 longitudine: 15,939563
 Classe: 2
 Vita nominale: 50

Siti di riferimento

Sito 1 ID: 44105	Lat: 38,3582	Lon: 15,9084	Distanza: 2731,975
Sito 2 ID: 44106	Lat: 38,3568	Lon: 15,9719	Distanza: 2823,642
Sito 3 ID: 44328	Lat: 38,3068	Lon: 15,9701	Distanza: 6081,535
Sito 4 ID: 44327	Lat: 38,3082	Lon: 15,9065	Distanza: 6042,088

Parametri sismici

Categoria sottosuolo: C
 Categoria topografica: T2
 Periodo di riferimento: 50anni
 Coefficiente cu: 1

Operatività (SLO):

Probabilità di superamento: 81 %
 Tr: 30[anni]
 ag: 0,069 g
 Fo: 2,298
 Tc*: 0,277 [s]

Salvaguardia della vita (SLV):

Probabilità di superamento: 10 %
 Tr: 475[anni]
 ag: 0,272 g
 Fo: 2,424
 Tc*: 0,365 [s]

Danno (SLD):

Probabilità di superamento: 63 %
 Tr: 50[anni]
 ag: 0,093 g
 Fo: 2,274
 Tc*: 0,293 [s]

Prevenzione dal collasso (SLC):

Probabilità di superamento: 5 %
 Tr: 975[anni]
 ag: 0,366 g
 Fo: 2,470
 Tc*: 0,390 [s]

		Ponte sullo Stretto di Messina PROGETTO DEFINITIVO
CRA5 - RELAZIONE GEOTECNICA E VERIFICHE DI STABILITÀ'	<i>Codice documento</i> CG1400PRBVCCZC4SD2200001	<i>Rev</i> F0

Coefficienti Sismici

SLO:

Ss: 1,500
 Cc: 1,600
 St: 1,200
 Kh: 0,025
 Kv: 0,012
 Amax: 1,215
 Beta: 0,200

SLV:

Ss: 1,300
 Cc: 1,460
 St: 1,200
 Kh: 0,119
 Kv: 0,059
 Amax: 4,167
 Beta: 0,280

SLD:

Ss: 1,500
 Cc: 1,570
 St: 1,200
 Kh: 0,033
 Kv: 0,017
 Amax: 1,633
 Beta: 0,200

SLC:

Ss: 1,160
 Cc: 1,430
 St: 1,200
 Kh: 0,143
 Kv: 0,071
 Amax: 4,991
 Beta: 0,280

7 FASI COSTRUTTIVE

Il riempimento del deposito sarà effettuato in progressive stratificazioni (rappresentate nelle analisi con spessore pari a circa 3,00 m). Nel modello di calcolo impiegato, tenendo conto di quanto detto in premessa, è stato ricostruito l'intero processo di realizzazione del deposito, partendo dalla configurazione di terreno vergine, corrispondente alle condizioni tensionali iniziali, antecedenti al progressivo accumulo di materiale, fino alle condizioni finali, in presenza di sisma. In particolare, gli stages di calcolo previsti sono:

- STAGE 1: Condizioni iniziali
- STAGE 2-n-1: Sovrapposizione degli strati di riempimento del deposito
- STAGE n: Azione del sisma e presenza della falda

8 MODELLO DI CALCOLO

8.1 Metodo agli elementi finiti (Metodo SSR)

La risoluzione di un problema di stabilità di un versante richiede la conoscenza delle sue equazioni di governo, ovvero le equazioni di equilibrio e quelle costitutive, che descrivono il comportamento meccanico del terreno.

Tali equazioni risultano particolarmente complesse, visto che il terreno è un sistema multifase, Eurolink S.C.p.A.

riconducibile ad un sistema monofase solo in condizioni di terreno secco, o di analisi in condizioni drenate.

Inoltre, è praticamente impossibile definire una legge costitutiva di validità generale, vista la non-linearietà del terreno anche in corrispondenza di piccole deformazioni, la sua anisotropia e la dipendenza del suo comportamento sia dallo sforzo normale che da quello deviatorico.

A causa di tali difficoltà è necessario introdurre delle ipotesi semplificative, ed in particolare:

- Il comportamento costitutivo del terreno viene assunto rigido perfettamente plastico.
- La resistenza del materiale viene espressa unicamente dalla coesione e dall' angolo di resistenza al taglio, assunti costanti e caratteristici dello stato plastico; si suppone valido il criterio di rottura di Mohr-Coulomb.

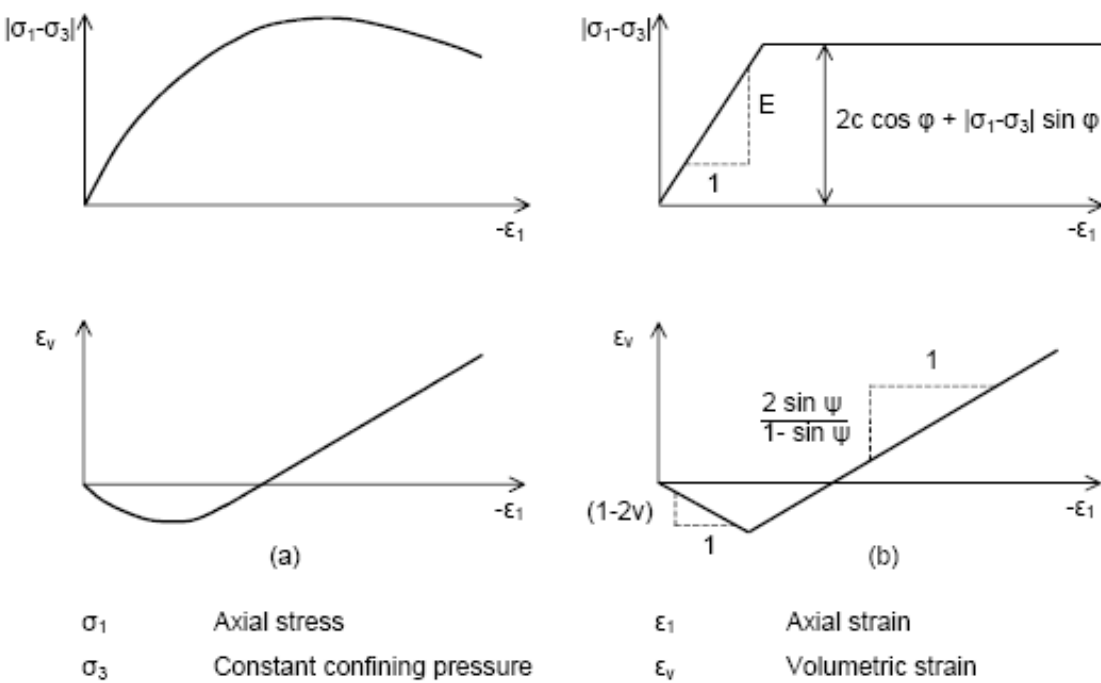


Figura 8.1

Il software impiegato per l'analisi di stabilità del pendio è un solutore agli elementi finiti a comportamento elasto-plastico, finalizzato alla valutazione dello stato tensionale effettivo e totale del terreno, e del campo di deformazione . Le analisi sono effettuate nell'ipotesi di deformazione piana [PHASE2, Rocscience 2003].

Le analisi di stabilità sono state effettuate discretizzando il terreno attraverso una mesh uniforme, con elementi finiti a tre nodi. Il comportamento degli elementi finiti segue il criterio elasto-perfettamente plastico di Mohr Coulomb, per il quale è richiesta la definizione di cinque parametri fondamentali (modulo di Young E , coefficiente di Poisson v , coesione c , angolo di attrito ϕ , e

dilatanza ψ .

Il metodo adottato dal software per l'analisi di stabilità è il metodo “**Shear Strength Reduction, SSR**” [Hammah et al 2006, Dawson et al 1999, Griffith & Lane 1999, Matsui & San, 1992].

Il coefficiente di sicurezza viene ottenuto riducendo progressivamente la resistenza a taglio dei materiali che costituiscono il pendio, fino al raggiungimento della condizione di collasso, che coincide con quella di instabilità del modello. La convergenza della soluzione FEM è, quindi, utilizzata come indicatore della condizione di crisi del pendio, per la quale la distribuzione tensionale e deformativa non è determinabile. Il fattore critico di riduzione della resistenza (**Strength Reduction Factor, SRF**) è equivalente al fattore di sicurezza del pendio.

8.2 Metodo dell'equilibrio limite (LEM)

Il metodo dell'equilibrio limite consiste nello studiare l'equilibrio di un corpo rigido, costituito dal pendio e da una superficie di scorrimento di forma qualsiasi (linea retta, arco di cerchio, spirale logaritmica); da tale equilibrio viene calcolata l'azione instabilizzante Ed e confrontata con la resistenza Rd disponibile per il sistema geotecnico, valutata secondo il criterio di rottura di *Coulomb*, da tale confronto ne scaturisce l'indicazione sulla stabilità attraverso il coefficiente di sicurezza $F = Rd/Ed$.

Le analisi sono state condotte con il programma di calcolo *SLIDE* della *Rocscience Inc.*, utilizzando il metodo di *Bishop semplificato* (1955), ed ipotizzando superfici di scorrimento circolari di raggio r , con il materiale coinvolto nella rottura suddiviso in conci di larghezza b (vedi schema riportato in figura 8.2), per ognuno dei quali viene espresso il rapporto fra i momenti stabilizzanti Ms (resistenza Rd del sistema geotecnico) e i momenti ribaltanti Mr (azione Ed) calcolati rispetto al centro del cerchio.

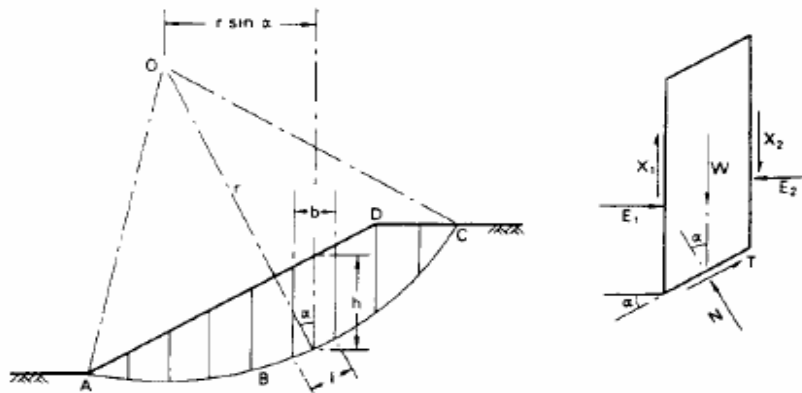


Figura 8.2

 Stretto di Messina	 Eurolink	Ponte sullo Stretto di Messina PROGETTO DEFINITIVO
CRA5 - RELAZIONE GEOTECNICA E VERIFICHE DI STABILITA'	<i>Codice documento</i> CG1400PRBVCCZC4SD2200001	<i>Rev</i> F0 <i>Data</i> 08/06/2012

		Ponte sullo Stretto di Messina PROGETTO DEFINITIVO		
CRA5 - RELAZIONE GEOTECNICA E VERIFICHE DI STABILITÀ'	<i>Codice documento</i> CG1400PRBVCCZC4SD22000001	<i>Rev</i> F0	<i>Data</i> 08/06/2012	

9 PRESCRIZIONI ESECUTIVE

Il deposito in esame è formato prevalentemente da materiali classificati come “terre e rocce da scavo” provenienti quindi, da scavi di sbancamento di fondazione o in galleria appartenenti ai gruppi A₁, A₂₋₄, A₂₋₅, A₃ (*classificazione CNR- UNI 10006*, 1963).

Prima della costruzione del corpo del deposito, si deve procedere alla rimozione e asportazione del terreno vegetale ove presente, per uno spessore medio pari a 25 cm, in modo che il piano di posa risulti più regolare possibile, privo di avvallamenti e tale da evitare il ristagno delle acque piovane.

I piani di posa sono ottenuti praticando scavi di sbancamento a gradoni laddove il terreno si presenta non orizzontale. La stesa del materiale deve essere eseguita con regolarità per strati di spessore costante pari a 50 cm. A compattazione avvenuta, i materiali impiegati devono presentare un modulo di deformabilità non inferiore a 15 MPa e caratteristiche di resistenza congruenti con le ipotesi di progetto per il corpo del deposito; queste ultime devono essere accertate in modo rigoroso, e garantite anche a lungo termine, nelle condizioni climatiche e idrogeologiche più sfavorevoli.

E' inoltre opportuno sottolineare la necessità di realizzare una sperimentazione in vera grandezza (“**campo prova**”) al fine di definire, sulla scorta dei risultati delle prove preliminari di laboratorio e con l'impiego di mezzi disponibili, gli spessori di stesa ed il numero di passaggi dei compattatori che permettono di raggiungere le prestazioni prescritte (grado di addensamento, portanza e resistenza). La sperimentazione in scala reale deve riguardare ogni campione omogeneo di materiale che si intende utilizzare per la realizzazione del corpo del deposito e deve essere completata prima della esecuzione dello stesso, in modo da essere di riferimento dei movimenti di materia e delle modalità esecutive di lavorazione. L'area predestinata alla prova deve essere perfettamente livellata, compattata, tale da presentare caratteristiche di deformabilità e resistenza analoghe a quelle dei materiali in esame.

10 RISULTATI DI CALCOLO

Le analisi sono state condotte seguendo l'Approccio 1, che prevede la combinazione 2 (A2+M2+R2), in accordo al codice normativo vigente [NTC 2008, par.6.8.2].

Secondo tale combinazione i parametri di resistenza del terreno sono decurtati del 25%, mentre gli eventuali carichi agenti sono considerati con il loro valore caratteristico.

L'analisi in condizioni sismiche è stata effettuata considerando le componenti orizzontale e verticale, con rotazione dei coefficienti moltiplicativi, come individuato nella relazione 7.3.15 NTC 2008. Per semplicità, si è riportato la risposta alla combinazione dell'azione sismica più

sfavorevole.

Nelle figure seguenti vengono illustrate le configurazioni del pendio relative ai diversi stages, con la contemporanea presenza di sisma e falda .

10.1 Sezione 1

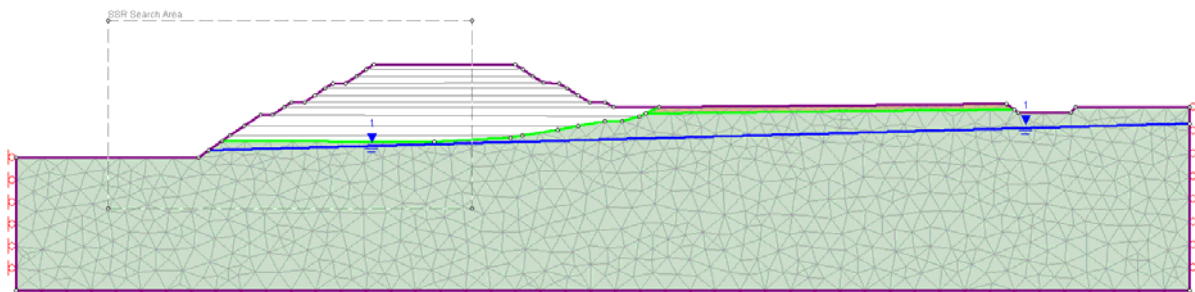


Figura 10.1 : Fase iniziale

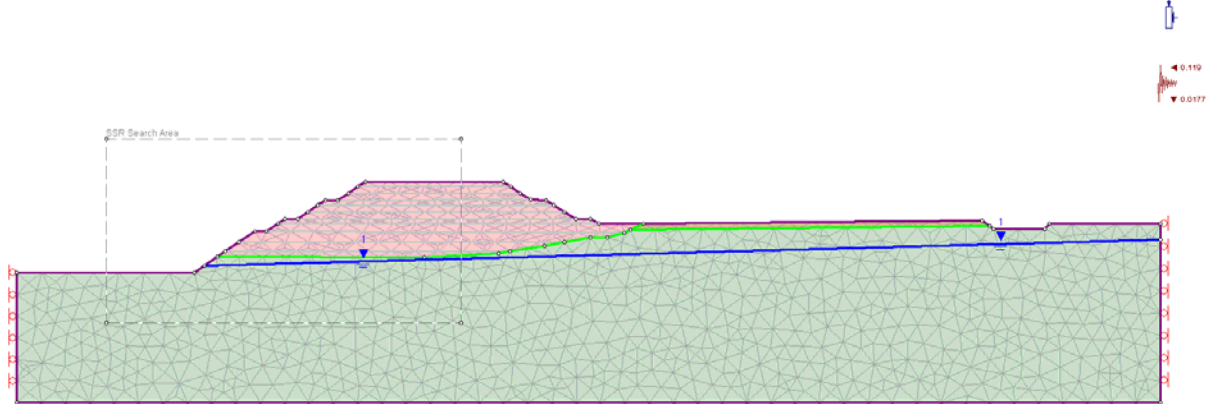


Figura 10.2 : Fase finale – completo riempimento in presenza di sisma

L'analisi di stabilità condotta sulla configurazione di completo riempimento del deposito con materiale inerte ha fornito un valore del coefficiente di sicurezza pari a 1.11, superiore al valore normativo.

		Ponte sullo Stretto di Messina PROGETTO DEFINITIVO
CRA5 - RELAZIONE GEOTECNICA E VERIFICHE DI STABILITÀ'	<i>Codice documento</i> CG1400PRBVCCZC4SD2200001	<i>Rev</i> F0

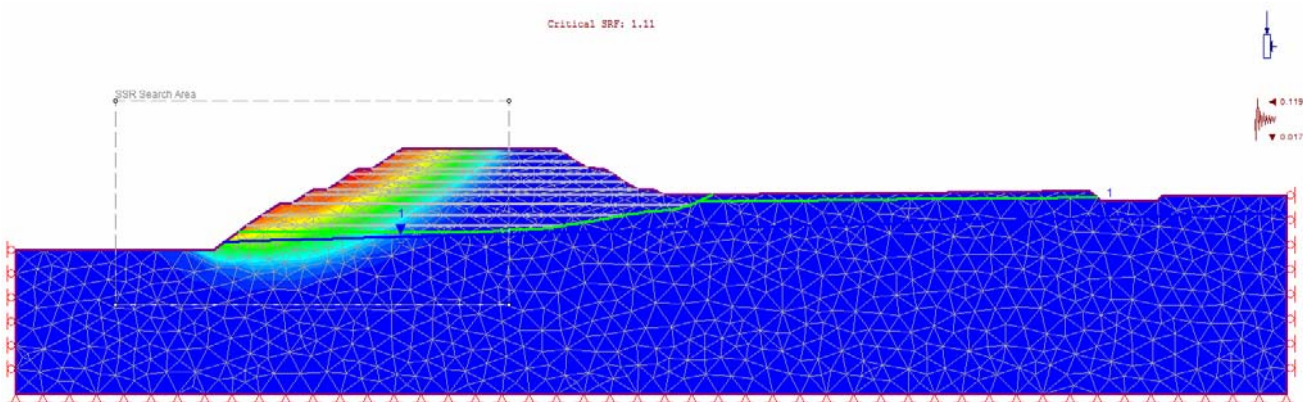


Figura 10.3 : Meccanismo di scivolamento - Spostamenti totali – Fase finale - SRF=1.11

Come accennato nell'introduzione, la verifica della sezione critica (sezione con coefficiente di sicurezza più basso) è stata anche eseguita secondo l'approccio tradizionale all'equilibrio limite (figura 10.4):

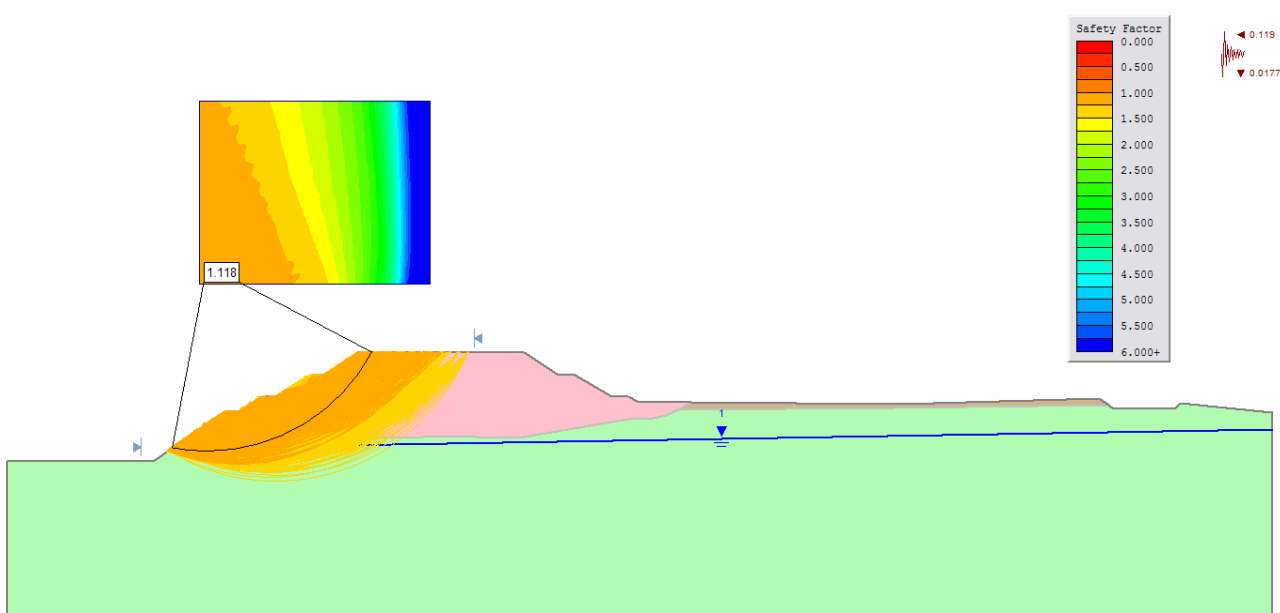


Figura 10.4 : Verifica di stabilità con il metodo dell'equilibrio limite (Sezione 1)

Dal confronto fra la figura 10.3 e la figura 10.4 appare evidente come i risultati ottenuti mediante le due analisi siano confrontabili fra di loro. Ciò mostra come il fattore di sicurezza ottenuto con il metodo utilizzato (SSR) sia assolutamente congruente ed in linea con i più tradizionali metodi di verifica della stabilità.

10.2 Sezione 2

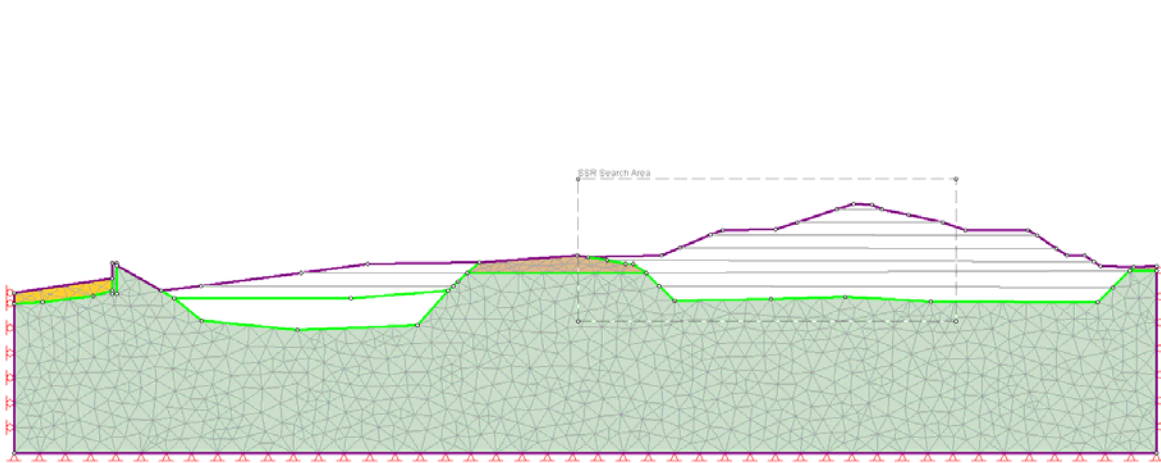


Figura 10.5 : Fase iniziale

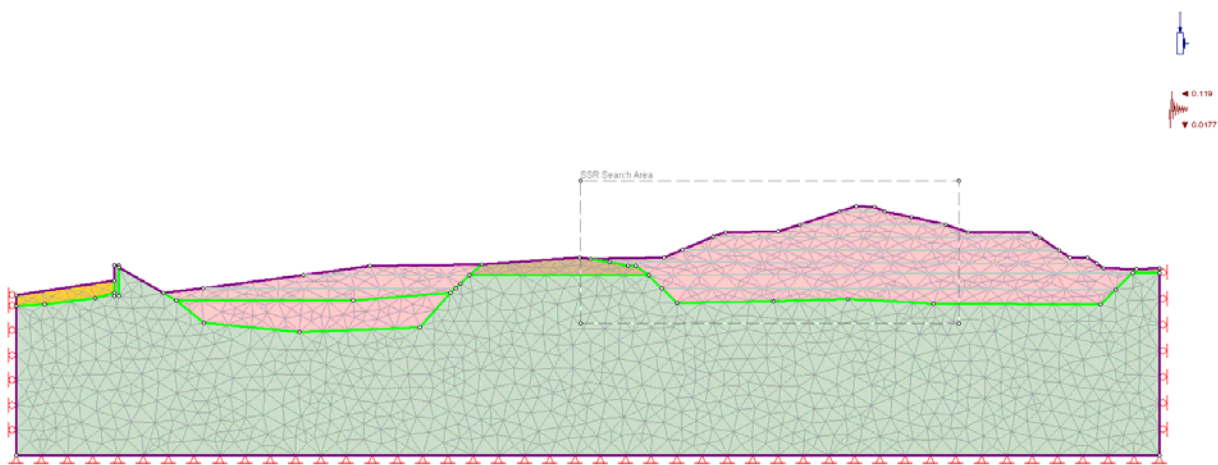


Figura 10.6 : Fase finale – completo riempimento in presenza di sisma

L'analisi di stabilità condotta sulla configurazione finale anche in questo caso ha fornito un valore del coefficiente di sicurezza pari a **2.02**, superiore a quello normativo.

		Ponte sullo Stretto di Messina PROGETTO DEFINITIVO
CRA5 - RELAZIONE GEOTECNICA E VERIFICHE DI STABILITÀ'	<i>Codice documento</i> CG1400PRBVCCZC4SD2200001	<i>Rev</i> F0

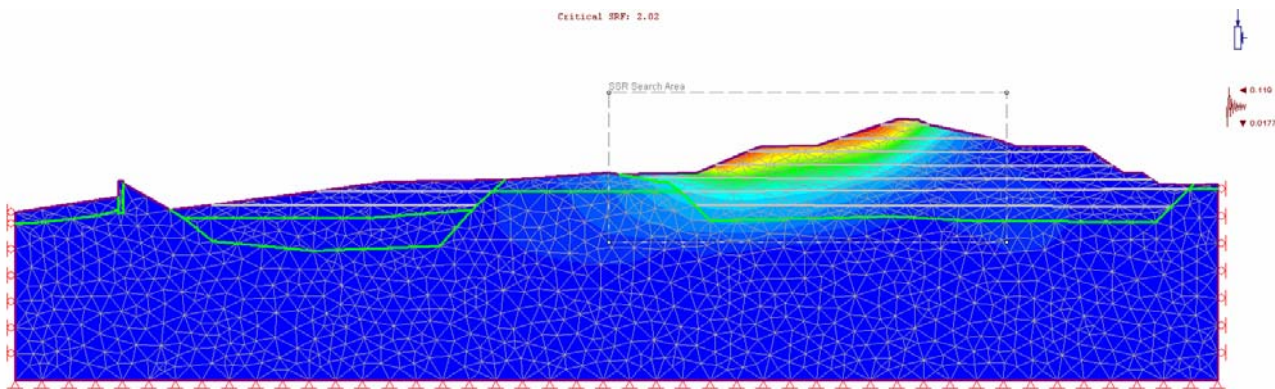


Figura 10.7 : Meccanismo di scivolamento - Spostamenti totali – Fase finale - SFR=2.02

Si riassumono nella tabella seguente i risultati ottenuti per le sezioni studiate, nella configurazione post-operam.

Configurazione	SFR	
	SEZIONE 1	SEZIONE 2
POST -OPERAM	1.11	2.02

Tabella 10.1

11 TABULATI DI CALCOLO

11.1 Sezione 1 –post operam- tabulato input

Project Settings

General

Project Title: Project1

Number of Stages: 13

Analysis Type: Plane Strain

Solver Type: Gaussian Elimination

Units: Metric, stress as kPa

Stress Analysis

Maximum Number of Iterations: 500

Tolerance: 0.001

Number of Load Steps: Automatic

Convergence Type: Absolute Energy

Tensile Failure: Reduces Shear Strength

Groundwater

Method: Piezometric Lines

Pore Fluid Unit Weight: 9.81 kN/m³

Strength Reduction

		Ponte sullo Stretto di Messina PROGETTO DEFINITIVO		
CRA5 - RELAZIONE GEOTECNICA E VERIFICHE DI STABILITÀ'	<i>Codice documento</i> CG1400PRBVCCZC4SD22000001	<i>Rev</i> F0	<i>Data</i> 08/06/2012	

Initial Estimate of SRF: 1

Step Size: Automatic

Tolerance (SRF): 0.01

Limit SSR Search Area: Yes

minx: 1035.16

maxx: 1150.94

miny: 714.204

maxy: 774.019

Accelerate SSR Analysis: Yes

Convergence Parameters: Automatic

Seismic Loading

Horizontal seismic load coefficient: -0.119 (positive to the right)

Vertical seismic load coefficient: -0.0177 (positive up)

Seismic load applied in: Stage 13

Mesh

Mesh type: uniform

Element type: 3 noded triangles

Number of elements on Stage 1: 1488

Number of nodes on Stage 1: 802

Number of elements on Stage 2: 1514

Number of nodes on Stage 2: 815

Number of elements on Stage 3: 1560

Number of nodes on Stage 3: 838

Number of elements on Stage 4: 1622

Number of nodes on Stage 4: 869

Number of elements on Stage 5: 1672

Number of nodes on Stage 5: 894

Number of elements on Stage 6: 1710

Number of nodes on Stage 6: 914

Number of elements on Stage 7: 1747

Number of nodes on Stage 7: 933

Number of elements on Stage 8: 1772

Number of nodes on Stage 8: 946

Number of elements on Stage 9: 1802

Number of nodes on Stage 9: 962

Number of elements on Stage 10: 1825

Number of nodes on Stage 10: 974

Number of elements on Stage 11: 1847

Number of nodes on Stage 11: 986

Number of elements on Stage 12: 1862

Number of nodes on Stage 12: 994

Number of elements on Stage 13: 1862

Number of nodes on Stage 13: 994

Reset Displacements

Displacements reset after: Stage 1

		Ponte sullo Stretto di Messina PROGETTO DEFINITIVO
CRA5 - RELAZIONE GEOTECNICA E VERIFICHE DI STABILITÀ'	Codice documento CG1400PRBVCCZC4SD22000001	Rev F0 Data 08/06/2012

Material Properties

Material: MATERIALE INERTE

Initial element loading: field stress & body force

Unit weight: 19 kN/m³

Elastic type: isotropic

Young's modulus: 30000 kPa

Poisson's ratio: 0.3

Failure criterion: Mohr-Coulomb

Tensile strength: 0 kPa

Peak friction angle: 29.25 degrees

Peak cohesion: 0 kPa

Material type: Plastic

Dilation Angle: 0 degrees

Residual Friction Angle: 29.25 degrees

Residual Cohesion: 0 kPa

Piezo to use: 1

Hu Type: Auto

Custom Field Stress:

Field stress: gravity

Ground surface elevation: 0 m

Unit weight of overburden: 27 kN/m³

Effective stress ratio (horizontal/vertical in-plane): 0.43

Effective stress ratio (horizontal/vertical out-of-plane): 0.43

Locked-in horizontal stress (in-plane): 0

Locked-in horizontal stress (out-of-plane): 0

Material: DEPOSITI ALLUVIONALI

Initial element loading: field stress & body force

Unit weight: 19 kN/m³

Elastic type: isotropic

Young's modulus: 15000 kPa

Poisson's ratio: 0.32

Failure criterion: Mohr-Coulomb

Tensile strength: 0 kPa

Peak friction angle: 27.45 degrees

Peak cohesion: 0 kPa

Material type: Plastic

Dilation Angle: 0 degrees

Residual Friction Angle: 27.45 degrees

Residual Cohesion: 0 kPa

Piezo to use: 1

Hu Type: Auto

Custom Field Stress:

Field stress: gravity

Ground surface elevation: 0 m

Unit weight of overburden: 27 kN/m³

Effective stress ratio (horizontal/vertical in-plane): 0.46

Effective stress ratio (horizontal/vertical out-of-plane): 0.46

Locked-in horizontal stress (in-plane): 0

Locked-in horizontal stress (out-of-plane): 0

Material: TERRENO VEGETALE

Initial element loading: field stress & body force

Unit weight: 18 kN/m³

		Ponte sullo Stretto di Messina PROGETTO DEFINITIVO		
CRA5 - RELAZIONE GEOTECNICA E VERIFICHE DI STABILITÀ'	<i>Codice documento</i> CG1400PRBVCCZC4SD22000001	<i>Rev</i> F0	<i>Data</i> 08/06/2012	

Elastic type: isotropic
 Young's modulus: 2500 kPa
 Poisson's ratio: 0.32
 Failure criterion: Mohr-Coulomb
 Tensile strength: 0 kPa
 Peak friction angle: 17.91 degrees
 Peak cohesion: 12.8 kPa
 Material type: Plastic
 Dilatation Angle: 0 degrees
 Residual Friction Angle: 17.91 degrees
 Residual Cohesion: 12.8 kPa
 Piezo to use: None
 Ru value: 0
Custom Field Stress:
 Field stress: gravity
 Ground surface elevation: 0 m
 Unit weight of overburden: 27 kN/m³
 Effective stress ratio (horizontal/vertical in-plane): 0.626
 Effective stress ratio (horizontal/vertical out-of-plane): 0.626
 Locked-in horizontal stress (in-plane): 0
 Locked-in horizontal stress (out-of-plane): 0

Areas of Excavated and Filled Elements

Stage 2

Material: MATERIALE INERTE, Area Filled: 148.756 m²

Stage 3

Material: MATERIALE INERTE, Area Filled: 299.432 m²

Stage 4

Material: MATERIALE INERTE, Area Filled: 375.733 m²

Stage 5

Material: MATERIALE INERTE, Area Filled: 326.242 m²

Stage 6

Material: MATERIALE INERTE, Area Filled: 162.964 m²

Stage 7

Material: MATERIALE INERTE, Area Filled: 202.580 m²

Stage 8

Material: MATERIALE INERTE, Area Filled: 167.917 m²

Stage 9

Material: MATERIALE INERTE, Area Filled: 127.249 m²

Stage 10

Material: MATERIALE INERTE, Area Filled: 128.981 m²

Stage 11

Material: MATERIALE INERTE, Area Filled: 112.840 m²

		Ponte sullo Stretto di Messina PROGETTO DEFINITIVO		
CRA5 - RELAZIONE GEOTECNICA E VERIFICHE DI STABILITÀ'		<i>Codice documento</i> CG1400PRBVCCZC4SD2200001	<i>Rev</i> F0	<i>Data</i> 08/06/2012

Stage 12

Material: MATERIALE INERTE, Area Filled: 75.716 m²

Excavation Areas

Original Un-deformed Areas

External Boundary Area: 21687.900 m²

External Boundary Perimeter: 861.982 m

Stage 1

External Boundary Area: 21687.900 m² (0 m² change from original area)

External Boundary Perimeter: 861.982 m (0 m change from original perimeter)

Stage 2

External Boundary Area: 21687.677 m² (-0.223243 m² change from original area)

External Boundary Perimeter: 861.989 m (0.00748464 m change from original perimeter)

Stage 3

External Boundary Area: 21687.188 m² (-0.712299 m² change from original area)

External Boundary Perimeter: 862.000 m (0.0179277 m change from original perimeter)

Stage 4

External Boundary Area: 21685.978 m² (-1.92223 m² change from original area)

External Boundary Perimeter: 862.017 m (0.0354161 m change from original perimeter)

Stage 5

External Boundary Area: 21683.665 m² (-4.23513 m² change from original area)

External Boundary Perimeter: 862.088 m (0.106081 m change from original perimeter)

Stage 6

External Boundary Area: 21682.434 m² (-5.4659 m² change from original area)

External Boundary Perimeter: 862.124 m (0.141827 m change from original perimeter)

Stage 7

External Boundary Area: 21681.077 m² (-6.82291 m² change from original area)

External Boundary Perimeter: 862.160 m (0.178123 m change from original perimeter)

Stage 8

External Boundary Area: 21679.849 m² (-8.05118 m² change from original area)

External Boundary Perimeter: 862.186 m (0.204132 m change from original perimeter)

Stage 9

External Boundary Area: 21678.293 m² (-9.60745 m² change from original area)

External Boundary Perimeter: 862.212 m (0.229731 m change from original perimeter)

Stage 10

External Boundary Area: 21676.769 m² (-11.1313 m² change from original area)

External Boundary Perimeter: 862.240 m (0.257739 m change from original perimeter)

Stage 11

External Boundary Area: 21675.258 m² (-12.6421 m² change from original area)

External Boundary Perimeter: 862.260 m (0.277821 m change from original perimeter)

Stage 12

External Boundary Area: 21671.057 m² (-16.8426 m² change from original area)

		Ponte sullo Stretto di Messina PROGETTO DEFINITIVO
CRA5 - RELAZIONE GEOTECNICA E VERIFICHE DI STABILITA'	<i>Codice documento</i> CG1400PRBVCCZC4SD2200001	<i>Rev</i> F0 <i>Data</i> 08/06/2012

External Boundary Perimeter: 862.209 m (0.227286 m change from original perimeter)

Stage 13

External Boundary Area: 21667.088 m² (-20.8118 m² change from original area)
 External Boundary Perimeter: 861.757 m (-0.224741 m change from original perimeter)

List of All Coordinates

External boundary

1005.958	730.264
1005.958	687.969
1379.405	687.969
1379.405	746.285
1343.189	746.285
1341.670	744.695
1324.889	744.712
1323.690	745.632
1321.278	747.481
1210.606	746.437
1196.063	746.345
1193.226	747.939
1188.609	747.939
1184.794	750.257
1181.359	752.345
1178.737	753.939
1173.865	754.183
1170.387	756.180
1167.249	758.345

1164.715	759.939
1119.664	759.939
1117.266	758.345
1114.155	756.261
1110.635	753.939
1106.622	753.939
1104.223	752.345
1101.079	750.257
1097.588	747.939
1093.573	747.939
1091.174	746.345
1087.420	743.852
1083.743	743.867
1078.436	740.345
1073.916	737.345
1071.549	735.702
1063.942	730.264

Stage boundary

1091.174	746.345
1196.063	746.345

Stage boundary

		Ponte sullo Stretto di Messina PROGETTO DEFINITIVO
CRA5 - RELAZIONE GEOTECNICA E VERIFICHE DI STABILITA'	<i>Codice documento</i> CG1400PRBVCCZC4SD22000001	<i>Rev</i> F0 <i>Data</i> 08/06/2012

1087.420 743.852
1204.436 743.345

Stage boundary
1078.436 740.345
1184.833 740.345

Stage boundary
1073.916 737.345
1167.038 737.345

Stage boundary
1097.588 747.939
1188.609 747.939

Stage boundary
1104.223 752.345
1181.359 752.345

Stage boundary
1110.635 753.939
1173.865 754.183

Stage boundary
1117.266 758.345
1167.249 758.345

Stage boundary
1101.079 750.257
1184.794 750.257

Stage boundary
1114.155 756.261
1170.387 756.180

Material boundary
1071.549 735.702
1139.111 735.460
1163.315 736.723
1167.038 737.345
1178.212 739.212
1184.833 740.345
1193.307 741.796
1198.790 741.893
1204.436 743.345
1206.441 744.397
1210.606 746.437

Material boundary
1206.441 744.397
1323.690 745.632

Piezometric line
1067.142 732.551
1379.405 741.249

		Ponte sullo Stretto di Messina PROGETTO DEFINITIVO		
CRA5 - RELAZIONE GEOTECNICA E VERIFICHE DI STABILITA'	<i>Codice documento</i> CG1400PRBVCCZC4SD22000001	<i>Rev</i> F0	<i>Data</i> 08/06/2012	

SSR Search Area

1035.160	714.204
1150.940	714.204
1150.940	774.019
1035.160	774.019

11.2 Sezione 1 –post operam- tabulato output

Shear Strength Reduction - Material Properties

Strength Reduction Factor: 1

Converged: yes

Material: MATERIALE INERTE

Peak friction angle: 29.25 degrees

Peak cohesion: 0 kPa

Residual Friction Angle: 29.25 degrees

Residual Cohesion: 0 kPa

Material: DEPOSITI ALLUVIONALI

Peak friction angle: 27.45 degrees

Peak cohesion: 0 kPa

Residual Friction Angle: 27.45 degrees

Residual Cohesion: 0 kPa

Material: TERRENO VEGETALE

Peak friction angle: 17.91 degrees

Peak cohesion: 12.8 kPa

Residual Friction Angle: 17.91 degrees

Residual Cohesion: 12.8 kPa

Strength Reduction Factor: 1.05

Converged: yes

Material: MATERIALE INERTE

Peak friction angle: 28.0736 degrees

Peak cohesion: 0 kPa

Residual Friction Angle: 28.0736 degrees

Residual Cohesion: 0 kPa

Material: DEPOSITI ALLUVIONALI

Peak friction angle: 26.3226 degrees

Peak cohesion: 0 kPa

Residual Friction Angle: 26.3226 degrees

Residual Cohesion: 0 kPa

Material: TERRENO VEGETALE

Peak friction angle: 17.1081 degrees

Peak cohesion: 12.1905 kPa

Residual Friction Angle: 17.1081 degrees

Residual Cohesion: 12.1905 kPa

Strength Reduction Factor: 1.08

Converged: yes

Material: MATERIALE INERTE

Peak friction angle: 27.4087 degrees

Peak cohesion: 0 kPa

		Ponte sullo Stretto di Messina PROGETTO DEFINITIVO		
CRA5 - RELAZIONE GEOTECNICA E VERIFICHE DI STABILITÀ'	<i>Codice documento</i> CG1400PRBVCCZC4SD22000001	<i>Rev</i> F0	<i>Data</i> 08/06/2012	

Residual Friction Angle: 27.4087 degrees

Residual Cohesion: 0 kPa

Material: DEPOSITI ALLUVIONALI

Peak friction angle: 25.6866 degrees

Peak cohesion: 0 kPa

Residual Friction Angle: 25.6866 degrees

Residual Cohesion: 0 kPa

Material: TERRENO VEGETALE

Peak friction angle: 16.6595 degrees

Peak cohesion: 11.8519 kPa

Residual Friction Angle: 16.6595 degrees

Residual Cohesion: 11.8519 kPa

Strength Reduction Factor: 1.1

Converged: yes

Material: MATERIALE INERTE

Peak friction angle: 26.9813 degrees

Peak cohesion: 0 kPa

Residual Friction Angle: 26.9813 degrees

Residual Cohesion: 0 kPa

Material: DEPOSITI ALLUVIONALI

Peak friction angle: 25.2783 degrees

Peak cohesion: 0 kPa

Residual Friction Angle: 25.2783 degrees

Residual Cohesion: 0 kPa

Material: TERRENO VEGETALE

Peak friction angle: 16.373 degrees

Peak cohesion: 11.6364 kPa

Residual Friction Angle: 16.373 degrees

Residual Cohesion: 11.6364 kPa

Critical Strength Reduction Factor: 1.11

Converged: yes

Material: MATERIALE INERTE

Peak friction angle: 26.7723 degrees

Peak cohesion: 0 kPa

Residual Friction Angle: 26.7723 degrees

Residual Cohesion: 0 kPa

Material: DEPOSITI ALLUVIONALI

Peak friction angle: 25.0787 degrees

Peak cohesion: 0 kPa

Residual Friction Angle: 25.0787 degrees

Residual Cohesion: 0 kPa

Material: TERRENO VEGETALE

Peak friction angle: 16.2333 degrees

Peak cohesion: 11.5315 kPa

Residual Friction Angle: 16.2333 degrees

Residual Cohesion: 11.5315 kPa

Strength Reduction Factor: 1.12

Converged: no

Material: MATERIALE INERTE

Peak friction angle: 26.5662 degrees

Peak cohesion: 0kPa

Residual Friction Angle: 26.5662 degrees

		Ponte sullo Stretto di Messina PROGETTO DEFINITIVO		
CRA5 - RELAZIONE GEOTECNICA E VERIFICHE DI STABILITÀ'	<i>Codice documento</i> CG1400PRBVCCZC4SD22000001	<i>Rev</i> F0	<i>Data</i> 08/06/2012	

Residual Cohesion: 0 kPa
Material: DEPOSITI ALLUVIONALI
 Peak friction angle: 24.882 degrees
 Peak cohesion: 0 kPa
 Residual Friction Angle: 24.882 degrees
 Residual Cohesion: 0 kPa
Material: TERRENO VEGETALE
 Peak friction angle: 16.0959 degrees
 Peak cohesion: 11.4286 kPa
 Residual Friction Angle: 16.0959 degrees
 Residual Cohesion: 11.4286 kPa

Strength Reduction Factor: 1.25
 Converged: no
Material: MATERIALE INERTE
 Peak friction angle: 24.1334 degrees
 Peak cohesion: 0 kPa
 Residual Friction Angle: 24.1334 degrees
 Residual Cohesion: 0 kPa
Material: DEPOSITI ALLUVIONALI
 Peak friction angle: 22.5661 degrees
 Peak cohesion: 0 kPa
 Residual Friction Angle: 22.5661 degrees
 Residual Cohesion: 0 kPa
Material: TERRENO VEGETALE
 Peak friction angle: 14.4962 degrees
 Peak cohesion: 10.24 kPa
 Residual Friction Angle: 14.4962 degrees
 Residual Cohesion: 10.24 kPa

Strength Reduction Factor: 1.5
 Converged: no
Material: MATERIALE INERTE
 Peak friction angle: 20.4732 degrees
 Peak cohesion: 0 kPa
 Residual Friction Angle: 20.4732 degrees
 Residual Cohesion: 0 kPa
Material: DEPOSITI ALLUVIONALI
 Peak friction angle: 19.1013 degrees
 Peak cohesion: 0 kPa
 Residual Friction Angle: 19.1013 degrees
 Residual Cohesion: 0 kPa
Material: TERRENO VEGETALE
 Peak friction angle: 12.1588 degrees
 Peak cohesion: 8.53333 kPa
 Residual Friction Angle: 12.1588 degrees
 Residual Cohesion: 8.53333 kPa

Yielded Elements

Yielded Mesh Elements
 Number of yielded mesh elements on Stage 1: 81
 Number of yielded mesh elements on Stage 2: 88
 Number of yielded mesh elements on Stage 3: 97

		Ponte sullo Stretto di Messina PROGETTO DEFINITIVO		
CRA5 - RELAZIONE GEOTECNICA E VERIFICHE DI STABILITÀ'	<i>Codice documento</i> CG1400PRBVCCZC4SD22000001	<i>Rev</i> F0	<i>Data</i> 08/06/2012	

Number of yielded mesh elements on Stage 4: 128
 Number of yielded mesh elements on Stage 5: 138
 Number of yielded mesh elements on Stage 6: 159
 Number of yielded mesh elements on Stage 7: 193
 Number of yielded mesh elements on Stage 8: 232
 Number of yielded mesh elements on Stage 9: 270
 Number of yielded mesh elements on Stage 10: 305
 Number of yielded mesh elements on Stage 11: 336
 Number of yielded mesh elements on Stage 12: 350
 Number of yielded mesh elements on Stage 13: 420

11.3 Sezione 2 –post operam- tabulato input

Project Settings

General

Project Title: Project1

Number of Stages: 11

Analysis Type: Plane Strain

Solver Type: Gaussian Elimination

Units: Metric, stress as kPa

Stress Analysis

Maximum Number of Iterations: 500

Tolerance: 0.001

Number of Load Steps: Automatic

Convergence Type: Absolute Energy

Tensile Failure: Reduces Shear Strength

Groundwater

Method: Piezometric Lines

Pore Fluid Unit Weight: 9.81 kN/m³

Strength Reduction

Initial Estimate of SRF: 1

Step Size: Automatic

Tolerance (SRF): 0.01

Limit SSR Search Area: Yes

minx: 143.855

maxx: 232.544

miny: 30.6984

maxy: 63.9818

Accelerate SSR Analysis: Yes

Convergence Parameters: Automatic

Seismic Loading

Horizontal seismic load coefficient: -0.119 (positive to the right)

Vertical seismic load coefficient: -0.0177 (positive up)

Seismic load applied in: Stage 11

Mesh

Mesh type: uniform

Element type: 3 noded triangles

		Ponte sullo Stretto di Messina PROGETTO DEFINITIVO
CRA5 - RELAZIONE GEOTECNICA E VERIFICHE DI STABILITÀ'	Codice documento CG1400PRBVCCZC4SD22000001	Rev F0 Data 08/06/2012

Number of elements on Stage 1: 1858
 Number of nodes on Stage 1: 990
 Number of elements on Stage 2: 2042
 Number of nodes on Stage 2: 1080
 Number of elements on Stage 3: 2190
 Number of nodes on Stage 3: 1153
 Number of elements on Stage 4: 2227
 Number of nodes on Stage 4: 1171
 Number of elements on Stage 5: 2340
 Number of nodes on Stage 5: 1227
 Number of elements on Stage 6: 2432
 Number of nodes on Stage 6: 1274
 Number of elements on Stage 7: 2507
 Number of nodes on Stage 7: 1312
 Number of elements on Stage 8: 2563
 Number of nodes on Stage 8: 1341
 Number of elements on Stage 9: 2586
 Number of nodes on Stage 9: 1353
 Number of elements on Stage 10: 2589
 Number of nodes on Stage 10: 1355
 Number of elements on Stage 11: 2589
 Number of nodes on Stage 11: 1355

Reset Displacements

Displacements reset after: Stage 1

Material Properties

Material: MATERIALE INERTE
 Initial element loading: field stress & body force
 Unit weight: 19 kN/m³
 Elastic type: isotropic
 Young's modulus: 30000 kPa
 Poisson's ratio: 0.3
 Failure criterion: Mohr-Coulomb
 Tensile strength: 0 kPa
 Peak friction angle: 29.25 degrees
 Peak cohesion: 0 kPa
 Material type: Plastic
 Dilatation Angle: 0 degrees
 Residual Friction Angle: 29.25 degrees
 Residual Cohesion: 0 kPa
 Piezo to use: None
 Ru value: 0

Custom Field Stress:

Field stress: gravity
 Ground surface elevation: 0 m
 Unit weight of overburden: 27 kN/m³
 Effective stress ratio (horizontal/vertical in-plane): 0.43
 Effective stress ratio (horizontal/vertical out-of-plane): 0.43
 Locked-in horizontal stress (in-plane): 0
 Locked-in horizontal stress (out-of-plane): 0

Material: DEPOSITI ALLUVIONALI

		Ponte sullo Stretto di Messina PROGETTO DEFINITIVO		
CRA5 - RELAZIONE GEOTECNICA E VERIFICHE DI STABILITÀ'	<i>Codice documento</i> CG1400PRBVCCZC4SD22000001	<i>Rev</i> F0	<i>Data</i> 08/06/2012	

Initial element loading: field stress & body force

Unit weight: 19 kN/m³

Elastic type: isotropic

Young's modulus: 15000 kPa

Poisson's ratio: 0.32

Failure criterion: Mohr-Coulomb

Tensile strength: 0 kPa

Peak friction angle: 27.45 degrees

Peak cohesion: 0 kPa

Material type: Plastic

Dilation Angle: 0 degrees

Residual Friction Angle: 27.45 degrees

Residual Cohesion: 0 kPa

Piezo to use: None

Ru value: 0

Custom Field Stress:

Field stress: gravity

Ground surface elevation: 0 m

Unit weight of overburden: 27 kN/m³

Effective stress ratio (horizontal/vertical in-plane): 0.46

Effective stress ratio (horizontal/vertical out-of-plane): 0.46

Locked-in horizontal stress (in-plane): 0

Locked-in horizontal stress (out-of-plane): 0

Material: TERRENO VEGETALE

Initial element loading: field stress & body force

Unit weight: 18 kN/m³

Elastic type: isotropic

Young's modulus: 2500 kPa

Poisson's ratio: 0.32

Failure criterion: Mohr-Coulomb

Tensile strength: 0 kPa

Peak friction angle: 17.91 degrees

Peak cohesion: 12.8 kPa

Material type: Plastic

Dilation Angle: 0 degrees

Residual Friction Angle: 17.91 degrees

Residual Cohesion: 12.8 kPa

Piezo to use: None

Ru value: 0

Custom Field Stress:

Field stress: gravity

Ground surface elevation: 0 m

Unit weight of overburden: 27 kN/m³

Effective stress ratio (horizontal/vertical in-plane): 0.626

Effective stress ratio (horizontal/vertical out-of-plane): 0.626

Locked-in horizontal stress (in-plane): 0

Locked-in horizontal stress (out-of-plane): 0

Material: DEPOSITI IN ALVEO

Initial element loading: field stress & body force

Unit weight: 19 kN/m³

Elastic type: isotropic

Young's modulus: 15000 kPa

Poisson's ratio: 0.3

		Ponte sullo Stretto di Messina PROGETTO DEFINITIVO		
CRA5 - RELAZIONE GEOTECNICA E VERIFICHE DI STABILITÀ'	<i>Codice documento</i> CG1400PRBVCCZC4SD22000001	<i>Rev</i> F0	<i>Data</i> 08/06/2012	

Failure criterion: Mohr-Coulomb

Tensile strength: 0 kPa

Peak friction angle: 26.56 degrees

Peak cohesion: 0 kPa

Material type: Plastic

Dilation Angle: 0 degrees

Residual Friction Angle: 26.56 degrees

Residual Cohesion: 0 kPa

Piezo to use: None

Ru value: 0

Custom Field Stress:

Field stress: gravity

Ground surface elevation: 0 m

Unit weight of overburden: 27 kN/m³

Effective stress ratio (horizontal/vertical in-plane): 0.47

Effective stress ratio (horizontal/vertical out-of-plane): 0.47

Locked-in horizontal stress (in-plane): 0

Locked-in horizontal stress (out-of-plane): 0

Areas of Excavated and Filled Elements

Stage 2

Material: MATERIALE INERTE, Area Filled: 705.808 m²

Stage 3

Material: MATERIALE INERTE, Area Filled: 546.734 m²

Stage 4

Material: MATERIALE INERTE, Area Filled: 149.058 m²

Stage 5

Material: MATERIALE INERTE, Area Filled: 364.182 m²

Stage 6

Material: MATERIALE INERTE, Area Filled: 301.643 m²

Stage 7

Material: MATERIALE INERTE, Area Filled: 247.214 m²

Stage 8

Material: MATERIALE INERTE, Area Filled: 164.438 m²

Stage 9

Material: MATERIALE INERTE, Area Filled: 67.569 m²

Stage 10

Material: MATERIALE INERTE, Area Filled: 9.041 m²

Excavation Areas

Original Un-deformed Areas

External Boundary Area: 12427.605 m²

External Boundary Perimeter: 628.221 m

Stage 1

		Ponte sullo Stretto di Messina PROGETTO DEFINITIVO
CRA5 - RELAZIONE GEOTECNICA E VERIFICHE DI STABILITÀ'	Codice documento CG1400PRBVCCZC4SD2200001	Rev F0

External Boundary Area: 12427.605 m² (0 m² change from original area)

External Boundary Perimeter: 628.221 m (0 m change from original perimeter)

Stage 2

External Boundary Area: 12426.975 m² (-0.630022 m² change from original area)

External Boundary Perimeter: 628.218 m (-0.00329869 m change from original perimeter)

Stage 3

External Boundary Area: 12425.589 m² (-2.01601 m² change from original area)

External Boundary Perimeter: 628.186 m (-0.0357824 m change from original perimeter)

Stage 4

External Boundary Area: 12423.865 m² (-3.73982 m² change from original area)

External Boundary Perimeter: 628.194 m (-0.0270374 m change from original perimeter)

Stage 5

External Boundary Area: 12420.933 m² (-6.67168 m² change from original area)

External Boundary Perimeter: 628.194 m (-0.0272653 m change from original perimeter)

Stage 6

External Boundary Area: 12418.822 m² (-8.78338 m² change from original area)

External Boundary Perimeter: 628.234 m (0.0130101 m change from original perimeter)

Stage 7

External Boundary Area: 12417.358 m² (-10.2467 m² change from original area)

External Boundary Perimeter: 628.260 m (0.0382565 m change from original perimeter)

Stage 8

External Boundary Area: 12414.178 m² (-13.427 m² change from original area)

External Boundary Perimeter: 628.270 m (0.0489939 m change from original perimeter)

Stage 9

External Boundary Area: 12412.026 m² (-15.5793 m² change from original area)

External Boundary Perimeter: 628.292 m (0.0706845 m change from original perimeter)

Stage 10

External Boundary Area: 12411.657 m² (-15.9482 m² change from original area)

External Boundary Perimeter: 628.287 m (0.0658399 m change from original perimeter)

Stage 11

External Boundary Area: 12406.614 m² (-20.9905 m² change from original area)

External Boundary Perimeter: 628.211 m (-0.0104574 m change from original perimeter)

List of All Coordinates

External boundary

11.751	34.815
11.751	-0.065
279.437	-0.065
279.437	42.497
279.440	43.565
274.199	43.512
266.400	43.602
264.746	44.688
262.564	46.120

		Ponte sullo Stretto di Messina PROGETTO DEFINITIVO
CRA5 - RELAZIONE GEOTECNICA E VERIFICHE DI STABILITA'	Codice documento CG1400PRBVCCZC4SD22000001	Rev F0 Data 08/06/2012

258.503 46.120
 256.082 47.710
 251.496 50.722
 249.366 52.120
 234.639 52.120
 229.454 53.777
 221.354 55.544
 215.099 56.814
 212.723 57.966
 208.538 58.120
 204.535 56.840
 195.226 53.864
 190.185 52.252
 177.859 52.120
 174.965 50.915
 167.804 47.933
 163.450 46.120
 146.178 45.756
 143.671 46.185
 120.690 44.485
 94.567 44.079
 78.886 42.051
 55.395 39.013
 46.075 37.807
 35.648 43.817
 35.648 44.250
 34.648 44.250
 34.648 40.676
 11.751 37.267

Stage boundary
114.585 39.013
55.395 39.013

Stage boundary
117.912 42.051
78.886 42.051

Stage boundary
269.226 38.677
162.904 38.944

Stage boundary
273.126 42.512
159.837 41.953

Stage boundary
264.746 44.688
150.736 44.976

Stage boundary
256.082 47.710
167.804 47.933

Stage boundary

		Ponte sullo Stretto di Messina PROGETTO DEFINITIVO
CRA5 - RELAZIONE GEOTECNICA E VERIFICHE DI STABILITA'	Codice documento CG1400PRBVCCZC4SD22000001	Rev F0 Data 08/06/2012

251.496 50.722
174.965 50.915

Stage boundary
229.454 53.777
195.226 53.864

Stage boundary
215.099 56.814
204.535 56.840

Material boundary
11.751 34.815
18.325 35.179
30.079 36.628
34.648 37.799

Material boundary
49.200 36.003
90.535 36.070
113.471 37.912
114.585 39.013
115.697 40.112
117.912 42.051
120.690 44.485

Material boundary
46.075 37.807
49.200 36.003

Material boundary
49.200 36.003
55.651 30.805
78.002 28.703
106.164 29.856
113.471 37.912

Material boundary
117.912 42.051
159.837 41.953
162.904 38.944
166.557 35.474
189.178 35.991
206.406 36.486
226.497 35.424
265.739 35.223
269.226 38.677
273.126 42.512
274.199 43.512

Material boundary
159.837 41.953
156.813 44.104
154.954 44.104
150.736 44.976

		Ponte sullo Stretto di Messina PROGETTO DEFINITIVO		
CRA5 - RELAZIONE GEOTECNICA E VERIFICHE DI STABILITA'	<i>Codice documento</i> CG1400PRBVCCZC4SD22000001	<i>Rev</i> F0	<i>Data</i> 08/06/2012	

146.178 45.756

Material boundary

279.437 42.497
273.126 42.512

Material boundary

34.648 40.676
34.648 37.799
34.648 37.103
35.648 37.103
35.648 43.817

SSR Search Area

143.855 30.698
232.544 30.698
232.544 63.982
143.855 63.982

11.4 Sezione 2 –post operam- tabulato output

Shear Strength Reduction - Material Properties

Strength Reduction Factor: 1

Converged: yes

Material: MATERIALE INERTE

Peak friction angle: 29.25 degrees
Peak cohesion: 0 kPa
Residual Friction Angle: 29.25 degrees
Residual Cohesion: 0 kPa

Material: DEPOSITI ALLUVIONALI

Peak friction angle: 27.45 degrees
Peak cohesion: 0 kPa
Residual Friction Angle: 27.45 degrees
Residual Cohesion: 0 kPa

Material: TERRENO VEGETALE

Peak friction angle: 17.91 degrees
Peak cohesion: 12.8 kPa
Residual Friction Angle: 17.91 degrees
Residual Cohesion: 12.8 kPa

Material: DEPOSITI IN ALVEO

Peak friction angle: 26.56 degrees
Peak cohesion: 0 kPa
Residual Friction Angle: 26.56 degrees
Residual Cohesion: 0 kPa

Strength Reduction Factor: 1.5

Converged: yes

Material: MATERIALE INERTE

Peak friction angle: 20.4732 degrees
Peak cohesion: 0 kPa
Residual Friction Angle: 20.4732 degrees
Residual Cohesion: 0 kPa

Material: DEPOSITI ALLUVIONALI

		Ponte sullo Stretto di Messina PROGETTO DEFINITIVO		
CRA5 - RELAZIONE GEOTECNICA E VERIFICHE DI STABILITÀ'	<i>Codice documento</i> CG1400PRBVCCZC4SD22000001	<i>Rev</i> F0	<i>Data</i> 08/06/2012	

Peak friction angle: 19.1013 degrees

Peak cohesion: 0 kPa

Residual Friction Angle: 19.1013 degrees

Residual Cohesion: 0 kPa

Material: TERRENO VEGETALE

Peak friction angle: 12.1588 degrees

Peak cohesion: 8.53333 kPa

Residual Friction Angle: 12.1588 degrees

Residual Cohesion: 8.53333 kPa

Material: DEPOSITI IN ALVEO

Peak friction angle: 18.4312 degrees

Peak cohesion: 0 kPa

Residual Friction Angle: 18.4312 degrees

Residual Cohesion: 0 kPa

Material: CLS

elastic material - no strength reduction

Strength Reduction Factor: 2

Converged: yes

Material: MATERIALE INERTE

Peak friction angle: 15.643 degrees

Peak cohesion: 0 kPa

Residual Friction Angle: 15.643 degrees

Residual Cohesion: 0 kPa

Material: DEPOSITI ALLUVIONALI

Peak friction angle: 14.5597 degrees

Peak cohesion: 0 kPa

Residual Friction Angle: 14.5597 degrees

Residual Cohesion: 0 kPa

Material: TERRENO VEGETALE

Peak friction angle: 9.17919 degrees

Peak cohesion: 6.4 kPa

Residual Friction Angle: 9.17919 degrees

Residual Cohesion: 6.4 kPa

Material: DEPOSITI IN ALVEO

Peak friction angle: 14.0333 degrees

Peak cohesion: 0 kPa

Residual Friction Angle: 14.0333 degrees

Residual Cohesion: 0 kPa

Strength Reduction Factor: 2.01

Converged: yes

Material: MATERIALE INERTE

Peak friction angle: 15.5689 degrees

Peak cohesion: 0 kPa

Residual Friction Angle: 15.5689 degrees

Residual Cohesion: 0 kPa

Material: DEPOSITI ALLUVIONALI

Peak friction angle: 14.4903 degrees

Peak cohesion: 0 kPa

Residual Friction Angle: 14.4903 degrees

Residual Cohesion: 0 kPa

Material: TERRENO VEGETALE

Peak friction angle: 9.1343 degrees

Peak cohesion: 6.36816 kPa

		Ponte sullo Stretto di Messina PROGETTO DEFINITIVO		
CRA5 - RELAZIONE GEOTECNICA E VERIFICHE DI STABILITÀ'	<i>Codice documento</i> CG1400PRBVCCZC4SD22000001	<i>Rev</i> F0	<i>Data</i> 08/06/2012	

Residual Friction Angle: 9.1343 degrees

Residual Cohesion: 6.36816 kPa

Material: DEPOSITI IN ALVEO

Peak friction angle: 13.9662 degrees

Peak cohesion: 0 kPa

Residual Friction Angle: 13.9662 degrees

Residual Cohesion: 0 kPa

Critical Strength Reduction Factor: 2.02

Converged: yes

Material: MATERIALE INERTE

Peak friction angle: 15.4956 degrees

Peak cohesion: 0 kPa

Residual Friction Angle: 15.4956 degrees

Residual Cohesion: 0 kPa

Material: DEPOSITI ALLUVIONALI

Peak friction angle: 14.4216 degrees

Peak cohesion: 0 kPa

Residual Friction Angle: 14.4216 degrees

Residual Cohesion: 0 kPa

Material: TERRENO VEGETALE

Peak friction angle: 9.08983 degrees

Peak cohesion: 6.33663 kPa

Residual Friction Angle: 9.08983 degrees

Residual Cohesion: 6.33663 kPa

Material: DEPOSITI IN ALVEO

Peak friction angle: 13.8997 degrees

Peak cohesion: 0 kPa

Residual Friction Angle: 13.8997 degrees

Residual Cohesion: 0 kPa

Strength Reduction Factor: 2.03

Converged: no

Material: MATERIALE INERTE

Peak friction angle: 15.4229 degrees

Peak cohesion: 0 kPa

Residual Friction Angle: 15.4229 degrees

Residual Cohesion: 0 kPa

Material: DEPOSITI ALLUVIONALI

Peak friction angle: 14.3535 degrees

Peak cohesion: 0 kPa

Residual Friction Angle: 14.3535 degrees

Residual Cohesion: 0 kPa

Material: TERRENO VEGETALE

Peak friction angle: 9.0458 degrees

Peak cohesion: 6.30542 kPa

Residual Friction Angle: 9.0458 degrees

Residual Cohesion: 6.30542 kPa

Material: DEPOSITI IN ALVEO

Peak friction angle: 13.8339 degrees

Peak cohesion: 0 kPa

Residual Friction Angle: 13.8339 degrees

Residual Cohesion: 0 kPa

Strength Reduction Factor: 2.05

		Ponte sullo Stretto di Messina PROGETTO DEFINITIVO		
CRA5 - RELAZIONE GEOTECNICA E VERIFICHE DI STABILITÀ'	<i>Codice documento</i> CG1400PRBVCCZC4SD2200001	<i>Rev</i> F0	<i>Data</i> 08/06/2012	

Converged: no

Material: MATERIALE INERTE

Peak friction angle: 15.2795 degrees

Peak cohesion: 0 kPa

Residual Friction Angle: 15.2795 degrees

Residual Cohesion: 0 kPa

Material: DEPOSITI ALLUVIONALI

Peak friction angle: 14.2191 degrees

Peak cohesion: 0 kPa

Residual Friction Angle: 14.2191 degrees

Residual Cohesion: 0 kPa

Material: TERRENO VEGETALE

Peak friction angle: 8.95898 degrees

Peak cohesion: 6.2439 kPa

Residual Friction Angle: 8.95898 degrees

Residual Cohesion: 6.2439 kPa

Material: DEPOSITI IN ALVEO

Peak friction angle: 13.7041 degrees

Peak cohesion: 0 kPa

Residual Friction Angle: 13.7041 degrees

Residual Cohesion: 0 kPa

Strength Reduction Factor: 2.12

Converged: no

Material: MATERIALE INERTE

Peak friction angle: 14.7974 degrees

Peak cohesion: 0 kPa

Residual Friction Angle: 14.7974 degrees

Residual Cohesion: 0 kPa

Material: DEPOSITI ALLUVIONALI

Peak friction angle: 13.7678 degrees

Peak cohesion: 0 kPa

Residual Friction Angle: 13.7678 degrees

Residual Cohesion: 0 kPa

Material: TERRENO VEGETALE

Peak friction angle: 8.66774 degrees

Peak cohesion: 6.03774 kPa

Residual Friction Angle: 8.66774 degrees

Residual Cohesion: 6.03774 kPa

Material: DEPOSITI IN ALVEO

Peak friction angle: 13.2678 degrees

Peak cohesion: 0 kPa

Residual Friction Angle: 13.2678 degrees

Residual Cohesion: 0 kPa

Strength Reduction Factor: 2.25

Converged: no

Material: MATERIALE INERTE

Peak friction angle: 13.977 degrees

Peak cohesion: 0 kPa

Residual Friction Angle: 13.977 degrees

Residual Cohesion: 0 kPa

Material: DEPOSITI ALLUVIONALI

Peak friction angle: 13.0001 degrees

Peak cohesion: 0 kPa

		Ponte sullo Stretto di Messina PROGETTO DEFINITIVO
CRA5 - RELAZIONE GEOTECNICA E VERIFICHE DI STABILITÀ'	Codice documento CG1400PRBVCCZC4SD22000001	Rev F0 Data 08/06/2012

Residual Friction Angle: 13.0001 degrees

Residual Cohesion: 0 kPa

Material: TERRENO VEGETALE

Peak friction angle: 8.1739 degrees

Peak cohesion: 5.68889 kPa

Residual Friction Angle: 8.1739 degrees

Residual Cohesion: 5.68889 kPa

Material: DEPOSITI IN ALVEO

Peak friction angle: 12.5261 degrees

Peak cohesion: 0 kPa

Residual Friction Angle: 12.5261 degrees

Residual Cohesion: 0 kPa

Strength Reduction Factor: 2.5

Converged: no

Material: MATERIALE INERTE

Peak friction angle: 12.6264 degrees

Peak cohesion: 0 kPa

Residual Friction Angle: 12.6264 degrees

Residual Cohesion: 0 kPa

Material: DEPOSITI ALLUVIONALI

Peak friction angle: 11.7381 degrees

Peak cohesion: 0 kPa

Residual Friction Angle: 11.7381 degrees

Residual Cohesion: 0 kPa

Material: TERRENO VEGETALE

Peak friction angle: 7.36598 degrees

Peak cohesion: 5.12 kPa

Residual Friction Angle: 7.36598 degrees

Residual Cohesion: 5.12 kPa

Material: DEPOSITI IN ALVEO

Peak friction angle: 11.3075 degrees

Peak cohesion: 0 kPa

Residual Friction Angle: 11.3075 degrees

Residual Cohesion: 0 kPa

Yielded Elements

Yielded Mesh Elements

Number of yielded mesh elements on Stage 1: 60

Number of yielded mesh elements on Stage 2: 80

Number of yielded mesh elements on Stage 3: 84

Number of yielded mesh elements on Stage 4: 84

Number of yielded mesh elements on Stage 5: 90

Number of yielded mesh elements on Stage 6: 111

Number of yielded mesh elements on Stage 7: 164

Number of yielded mesh elements on Stage 8: 204

Number of yielded mesh elements on Stage 9: 247

Number of yielded mesh elements on Stage 10: 253

Number of yielded mesh elements on Stage 11: 482